

九州大学工学部 正 蘭田 哲也 正 寒谷 陽一
 岩手大学工学部 正・滝田 譲三 正 大沼 正郎
 セントラルコンサルタント(KK) 正 柳橋 巧

1. はじめに

底泥の巻き上げ量、巻き上げ速度を精度よく求めることは、港湾等の半開鎖水域での水質汚濁現象を解明するうえで必要不可欠である。本研究では既に筆者らが示した巻き上げ速度の算定モデル¹⁾、既ち、底泥が剪断応力を受けることにより流動し、それは伴う変形により限界剪断力が増加することによるモデルに、有効応力に比例する力がさらに剪断に抵抗する力として組み入れたモデルについて検討した。また、これらに圧密沈降を考慮した場合における巻き上げ速度の算定方法を提示したものである。

2. 底泥の巻き上げ過程と巻き上げのモデル

比較的含水比が高い底泥(通常300%以上)の一一定剪断応力下でのみずびの巻き上げ実験の結果より、①底泥は実験開始後10~20分間急激に巻き上げられ(急巻き上げ期)。その後、穢やかな巻き上げが続く(緩慢巻き上げ期)②巻き上げ速度の時間的な低下は、底泥の流動に伴う底泥表面部の含水比の低下によって起る、③初期巻き上げ速度は $E = A(\eta_c - 1)^B$ ($\eta_c = \eta_e$, η_e :巻き上げの限界剪断力, A , B :定数, η 表示し得る, 等が明らかにならず、下)。さらに新たに実験として、試料としてカオリーン(平均粒径0.64μm)を用い、 $\tau = 0.4 \text{ N/m}^2$, $W = 465\%$ として初期の底泥の厚さ H_0 を変化させた場合のSSの経時変化を示したのが図-1である。この場合、 H_0 が2cm以下になると巻き上げ速度、巻き上げ量とともに急激に小さくなる。また、 H_0 が2cm以下の場合は巻き上げ量が底泥に残存した底泥の含水比の鉛直分布を示したのが図-2中の実線であり、実験時と同一の水深に1~2時間静置した場合の含水比の鉛直分布を示したのが図-2中の破線である。底泥に剪断応力が作用した場合には、静置した場合に較べ含水比がなりに低下しており、底泥の流動に伴う含水比の低下が顕著に表われている。また、 H_0 が2cm以下の場合は巻き上げ量が底泥に残存した底泥の含水比の鉛直分布が巻き上げ速度の低下に影響してくると考えられる。

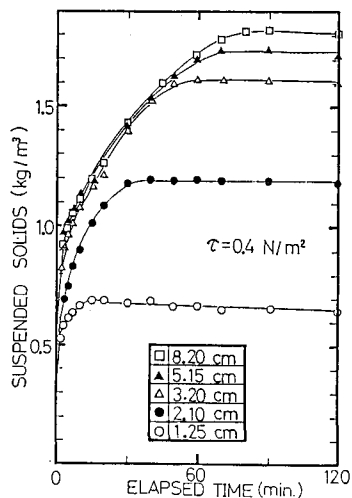


図-1 SSの経時変化

以上の実験結果にもとづき、以下に示す仮定をおく。①底泥は連続体であり、ビニガム流体としての運動を示す、②底泥の降伏値では底泥の歪速度の絶対値の時間積分値に比例して増加する、③塑性粘度η_pは降伏値η_yに比例する(比例定数β)、④底泥には降伏値η_yの他に有効応力P_sに比例する(比例定数γ)水平方向の力が剪断に抵抗する力として働く、⑤底泥の降伏値と巻き上げの限界剪断力η_eとは等しい。以上より、底泥の運動方程式、構成方程式はスを鉛直上向き正として

$$\partial \eta_e / \partial x = 0$$

(1)

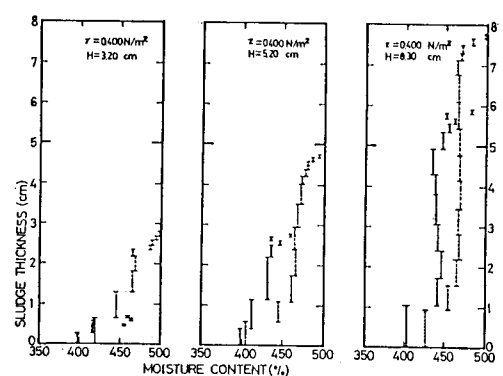


図-2 底泥の含水比分布

$$\tau = -(\tau_y + \gamma P_s) - \mu_p \frac{\partial u}{\partial z}$$

$$\frac{\partial u}{\partial z} = 0$$

$$\tau_y = d \int_0^t \left| \frac{\partial u}{\partial z} \right| dt + \tau_{y0}$$

$$\mu_p = \tau_y / \beta \quad (4)$$

$$|\tau| \geq \tau_y + \gamma P_s$$

$$|\tau| < \tau_y + \gamma P_s$$

} (2)

(3)

$$\tau_c = \tau_y$$

(5)

$\gamma = \gamma^*$, τ_{y0} : $t=0$ における降伏値である。

本研究では試料の場合、初期走り上げ速度はても変えた実験結果より

$$E (kg/m^2 \cdot sec) = 0.0015 (\tau_c - \tau_y)^{1.94} \quad (6)$$

式得られました。固体内分率とての関係は $\tau_c (N/m^2) = 3.39 (1-\epsilon)^{1.3}$ (7)

となる。また、圧密沈降と空隙率との低下は

$$ds = -(1-\epsilon) \frac{k}{\mu} [(1-\epsilon) (\rho_s - \rho_e) g + \frac{\partial \rho_e}{\partial z}] \quad (8)$$

$$\frac{\partial}{\partial t} \left(\frac{\epsilon}{1-\epsilon} \right) - \rho_s \frac{\partial}{\partial w} \left(\frac{\rho_s}{1-\epsilon} \right) = 0 \quad (9)$$

$\gamma = \gamma^*$, ρ_s : 固相の空塔速度, K : 疎水係数, μ : 弹性係数, ρ_e : 粒子密度, ρ_l : 液体の密度であり, (8), (9) 式を差分化すれば以下の式が求められる。剪断歪と圧密沈降はともに各々の ϵ の低下が加算できることすれば、両者も考慮した場合の走り上げ速度の算定が可能となる。

3. モデル実験の結果

$\gamma = \gamma^*$ では圧密沈降の影響を考慮せず、剪断歪のみを考慮して計算を行った。 (1) ～ (5) 式を直接解くことは困難なので差分化して数値計算を行った。計算は空間座標 x を質量座標 $w (= \int_0^x (1-\epsilon) dx) = 1$ で表し、 $\Delta t = 1 \text{ sec}$, $\Delta w = 0.1 \text{ kg/m}^2$, $P_s = 2.66 \text{ t/m}^2$, $\beta = 0.1 \text{ sec}^{-1}$, $\gamma = 0.02$ として行った。計算結果の一例を図-3 に示す。図中のプロットは同じ条件の下で行なった実験結果を示している。計算値は ϵ の値が大きくなるにつれて剪断歪による表面の硬化の影響が大きくなるため、走り上げ速度の時間的な低下が大きくなり、急速走り上げ開始の時間も短くなり、最大走り上げ量も小さくなる。 $\gamma = 0.021$ とした場合の計算値は既往実験値をよく表している。経過時間が 50 分程度になると計算値の方が実験値より大きくなる。次に、図-4 に表面における底泥の移動距離 S 及び限界剪断力 T_c の計算結果を示す。本モデルでは ϵ の時間的増加が底泥の移動距離に比例するため、 ϵ と S の変化はよく似た傾向を示しており、時間が経過するにつれて両者ともその増加速度が徐々に低下し、2 時間経過後ではほぼ作用しない剪断力 0.4 N/m^2 ほどの値となり、 S もほとんど変化しなくなっている。以上より、本モデルはかなりの程度まで底泥の流動、運動に伴う底泥の硬化現象、走り上げ速度の時間的な低下を説明できると考えられる。また、2 図で示した H_0 が小さな試料では最大走り上げ量が小さくなることから、実験結果は、図-3 で ϵ の値を大きくした場合と現象が似ており、圧密沈降を考慮しないが走る走る、今後この点について検討したい。

参考文献

- 1) Kusuda, T. et al : Erosional Process of Cohesive Sediments, Proc. 12th IAHRWL Conf., pp. 891~893, 1984
- 2) 柳原三：底泥の走り上げ特性に関する実験的研究，昭和59年度東北支部，pp. 60~61
- 3) 長藤三：底泥の走り上げに関する研究，昭和58年度東北支部，pp. 176~177
- 4) 梅田三：汚泥の沈降速度と固有応力，土木学会論文報告集，294, pp. 59~71, 1980

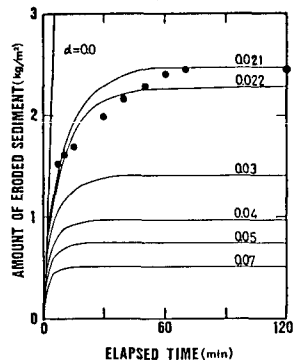


図-3 走り上げ量の経時変化

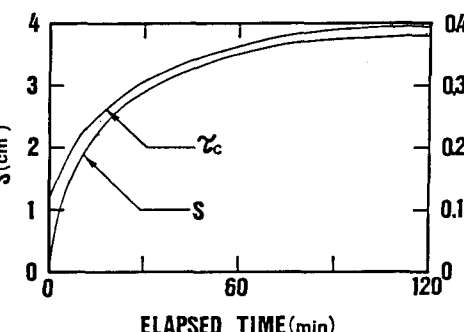


図-4 T_c と S の経時変化

Critical Shear Stress (N/m²)

ELAPSED TIME (min)

S (cm)

ELAPSED TIME (min)

T_c

S

ELAPSED TIME (min)

T_c

S </